

پیش‌بینی نیروی برش در ارده‌ی الماسه‌ی دیسکی: مطالعه موردی سنگ‌های گرانیتی

مجتبی مختاریان اصل^{*}، عارف علی‌پور^۱ و سجاد چهره‌قانی^۲

۱- گروه مهندسی معدن و مواد، دانشگاه صنعتی ارومیه، ارومیه

۳- گروه مهندسی معدن، دانشگاه ارومیه، ارومیه

* m.mokhtarian@uut.ac.ir
نویسنده مسئول:

نوع مقاله: مطالعه موردی-کاربردی

دریافت: ۹۹/۴/۳ پذیرش: ۹۸/۱۰/۸

چکیده

سیم برش الماسه و ارده‌های الماسه دیسکی کاربرد وسیعی در فرآوری و برش سنگ دارند. عملکرد برش متاثر از خصوصیات سنگ، مشخصات برش و شرایط محیطی و اپراتوری است. تاکنون مدل‌های مختلفی به منظور پیش‌بینی قابلیت برش مبتنی بر این پارامترها ارائه شده‌اند. پیش‌بینی عملکرد ماشین برش نقش بسزایی در تخمین هزینه‌ها دارد. هدف از پژوهش حاضر، بسط مدلی غیرخطی برای تخمین نیروی برش ارده‌ی الماسه دیسکی توسط رویکرد بهینه‌سازی الگوریتم رقابت استعماری و مقایسه نتایج حاصل با تحقیقات صورت گرفته، است. آزمایشات صورت گرفته بر روی سنگ گرانیت مبنای مطالعه موردی بوده و مدل‌های پیشنهادی بر اساس آن داده‌ها مورد ارزیابی قرار گرفته‌اند. برای پیش‌بینی نیروی برشی از پارامترهای مشخص ماشین کاری شامل سرعت دورانی محیطی، سرعت یا گام پیشروی عبوری دستگاه برش، عمق برش و نرخ جاری شدن سیال سرد کننده استفاده شده است. نتایج حاصل از آزمون‌های آماری مؤید دقت بسیار مناسب مدل دوم مبتنی بر الگوریتم رقابت استعماری با ضریب تعیین ۰/۹۸ و میانگین درصد قدرمطلق خطای برابر ۴/۴۸ در تخمین نیروی برش ارده‌ی الماسه در مقایسه با مطالعات گذشته می‌باشد.

واژه‌های کلیدی: فرآوری سنگ، ارده‌ی الماسه دیسکی، نیروی برش، الگوریتم رقابت استعماری

۱- پیش‌گفتار ۲۰۱۳). طبقه‌بندی‌های مطرح در این حوزه معیاری برای

تمیز قابلیت برش سنگ‌های مختلف هستند. بهمنظور ارزیابی قابلیت برش سنگ، استفاده از دستگاه‌های مختلف در مقیاس آزمایشگاهی و صنعتی مورد توجه بوده است. بطور معمول در قابلیت برش اندرکنش بین خصوصیات مکانیکی سنگ و کارکرد دستگاه برش مورد توجه قرار می‌گیرد. شاخصه‌های مختلفی نظیر اندازه‌گیری شدت جریان مصرفی دستگاه، مقدار نیروی برش لازم، مقدار تولید دستگاه در واحد زمان و ... بهمنظور ارزیابی توان و کارکرد دستگاه برش و به عبارتی قابلیت برش مطرح هستند (عطایی و همکاران، ۲۰۱۲ در این حوزه آزمون‌های آزمایشگاهی برش استانداردی با دستورالعمل مشخص نظیر آزمون‌های مقاومت فشاری تکمحوره و سه‌محوره وجود ندارد. دستگاه‌های مختلفی نظیر سیم برش الماسه، ارده‌های برش الماسه دیسکی، تیغه‌های الماسه خطی و ... به منظور برش سنگ مطرح هستند. از این بین، ارده‌های برش الماسه دیسکی با عملکرد قابل توجه و مناسب

امروزه برش سنگ به عنوان یک عملیات مهندسی، کاربردهای وسیع و تعیین کننده‌ای در صنایع سنگ تزئینی پیدا کرده است. تخمین قابلیت حفاری و برش سنگ توسط دستگاه‌های حفاری، سیم برش الماسه و ارده‌ی الماسه دیسکی در تخمین هزینه‌های عملیاتی نقش مهمی دارد (ارسوی و آتیحی، ۲۰۰۴).

تعیین و اندازه‌گیری قابلیت برش سنگ^۱ یکی از شاخصه‌های مهندسی سنگ محسوب می‌شود. در این زمینه طبقه‌بندی‌های محدودی ارائه شده که در آن‌ها مشخصات فیزیکی-مکانیکی سنگ نظیر چگالی، تخلخل، درجه و نوع سیمان‌شدنی، مشخصات بافتی، پارامترهای مقاومتی سنگ، سختی، سایندگی و ... در کنار مشخصات بافت-ساخت و شرایط دستگاهی و اپراتوری مورد توجه قرار گرفته است. این طبقه‌بندی‌ها از پارامترهای موثر مختلفی استفاده کرده‌اند و در برخی موارد پارامترهای هم اثر و هم‌پوشان نیز وجود دارند (صادق‌اسلام و همکاران،

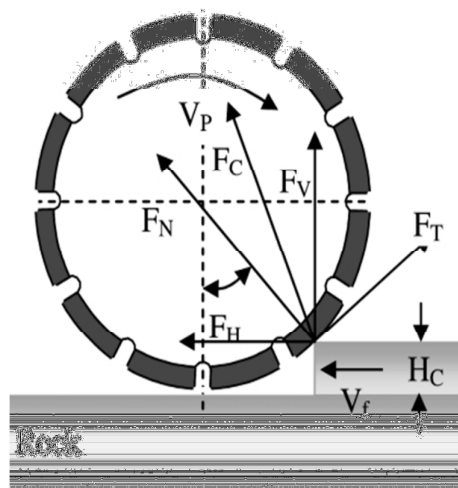
^۱ Cutability

فارغ از ابعاد دستگاه برش ارهی الماسه دیسکی، مکانیزم عملکرد و نیروهای موثر در برش تا حدود زیادی یکسان بوده و از شباهت قابل توجهی برخوردار هستند. جزئیات بیشتر مربوط به این نیروها و عملکرد دستگاه در شکل ۲ نشان داده شده است. می‌توان از مراجع (کنستانسی، ۲۰۰۲؛ بویوکسایگیز و گوکتان، ۲۰۰۵) برای اطلاعات تکمیلی در این زمینه استفاده کرد.

خود در مقایسه با سایر ابزارهای برش، در برش سنگ‌های مختلف به کار گرفته شده‌اند (ارسوی و آتیجی، ۲۰۰۴؛ کاراکوت، ۲۰۱۴). این اره‌ها در مقیاس آزمایشگاهی، متوسط کارگاهی و بزرگ‌مقیاس در حد قله بر سنگ‌بری‌ها به کار گرفته می‌شوند؛ گاهی نیز از این ابزار در معادن سنگ و عملیات کوهبری استفاده می‌شود. نمایی از دستگاه اره الماسه دیسکی در شکل ۱ نشان داده شده است.



شکل ۱. استفاده از اره‌های الماسه دیسکی به منظور برش سنگ



از طریق حسگر فشار سنج سلولی نصب شده در زیر قطعه کار سنجیده می‌شود.	F_H	Horizontal Force	نیروی افقی
از طریق حسگر فشار سنج سلولی نصب شده در زیر قطعه کار سنجیده می‌شود.	F_V	Vertical Force	نیروی عمودی
در شکل نشان داده شده است.	α	The Effect Angle of Normal Force	زاویه تاثیر نیروی نرمال
$F_N = F_V \cos \alpha + F_H \sin \alpha$	F_N	Normal Force	نیروی نرمال
$F_T = F_V \sin \alpha + F_H \cos \alpha$	F_T	Tangential Force	نیروی نرمال
$F_T = \sqrt{F_N^2 + F_T^2}$	F_C	Cutting Force	نیروی برش
قابل کنترل از طریق ابراتور	H_C	Depth of Cut	عمق برش
قابل کنترل از طریق ابراتور	V_f	Feed Rate	قرخ پیشرودی
قابل کنترل از طریق ابراتور	V_p	Peripheral Speed	سرعت دورانی

شکل ۲. مکانیزم عملکرد و نیروهای موثر در برش توسط ارهی الماسه دیسکی (ارسوی و آتیجی، ۲۰۰۴)

به بهینه‌سازی صورت گرفته با طراحی آزمایشات و تعیین میزان بهینه‌سازی متغیرهای فرآیند، مدل پیش‌بینی خطی نیز به منظور تخمین نیروی برشی لازم برای برش سنگ توسط ارهی الماسه ارائه شده است. هر چند دقت مدل خطی ارائه شده تا حدی قابل قبول می‌باشد، اما ارتقای سطح دقت مدل پیش‌بینی نیروی برش منجر به ارتقای عملیات برش خواهد شد؛ از این‌رو در پژوهش حاضر مدلی غیرخطی برای تخمین نیروی برش اعمالی ارهی الماسه دیسکی با توجه به پارامترهای ماشین کاری دستگاه برش شامل سرعت دورانی محیطی، سرعت یا گام پیشروی عبوری دستگاه برش، عمق برش و نرخ جاری شدن سیال سرد کننده ارائه شده است. ضرایب مدل غیرخطی ارائه شده نیز با استفاده از الگوریتم رقابت استعماری^۱ تعیین شده است.

۲- معرفی مورد مطالعاتی- توصیف مراحل انجام آزمایشات

در پژوهش حاضر، از داده‌های مربوط به مطالعه صورت رفته توسط کاراکوت (۲۰۱۴) جهت پیش‌بینی نیروی برش ارهی الماسه دیسکی استفاده شده است. در مطالعه انجام گرفته توسط وی، برای آزمایشات برش، یک نمونه سنگ گرانیتی با ضخامت، طول و عرض ۳۰، ۳۰ و ۱۰ سانتی‌متری به عنوان نمونه آزمایش مورد استفاده قرار گرفته است. دیسک‌های الماسه دستگاه برش دارای قطری معادل با ۴۰ سانتی‌متر و دارای ۲۸ سگمنت الماسه با طول پیرامونی به طول ۴۰ میلی‌متر، عرض ۳/۵ میلی‌متر و ارتفاع ۱۰ میلی‌متر می‌باشد. الماس‌های روی سگمنت نیز قابلیت سایش مواد سخت را دارا هستند. بازوی اره قادر به حرکت در دو جهت جلو-عقب و بالا-پایین بوده و این حرکت توسط به کارگیری موتور جریان متناوبی با قدرت ۷۵ کیلو وات صورت می‌گیرد. به منظور چرخش دیسک نیز از موتوری با قدرت ۴ کیلو وات استفاده شده است. در زیر صفحه‌ای که نمونه آزمایش قرار گرفته، حسگرهای نیروسنج سلولی قرار گرفته‌اند. در جدول ۲ مشخصات کائی‌شناسی قطعه‌کار سنگی، بهمراه مشخصات بافتی و توصیف دانه‌های آن و برخی خصوصیات فیزیکی- مکانیکی اندازه‌گیری شده ارائه شده است (کاراکوت، ۲۰۱۴).

ارزیابی کلی از قابلیت برش و تخمین مناسب از پارامترهای برش و بهینه‌سازی فرآیند برش منجر به افزایش توان تولید و کاهش هزینه‌های برش خواهد شد (کاراکوت، ۲۰۱۴). تاکنون تحقیقات مختلفی بر روی ارزیابی کارایی برش ارههای الماسه دیسکی در فرآوری سنگ تزئینی و سایر حوزه‌های مرتبط صورت گرفته است. در این تحقیقات از پارامترهای موثر متفاوتی برای تعیین قابلیت برش ارهی الماسه دیسکی استفاده شده، که به صورت جدول ۱ جمع‌بندی شده است (اوژجلیک، ۱۹۹۹). این پارامترها شامل پارامترهای عملیاتی برش، مشخصه‌های طراحی ارهی برش، مشخصات مدیریتی و شرایط کاری، مشخصات مکانیکی، بافتی و ساختی سنگ هستند. پارامترهای مربوط به مشخصات سنگ غیرقابل کنترل و پارامترهای عملیاتی و طراحی دستگاه برش به نوعی قابل کنترل هستند. در برخی از مطالعات مشخصه‌های برش (شرایط دستگاه، تجهیزات و مهارت اپراتور) ثابت در نظر گرفته شده و نقش پارامترهای سنگ مورد توجه قرار گرفته است؛ مطالعات برخی از محققین (بایرام، ۲۰۱۳؛ دلگادو و همکاران، ۲۰۰۵؛ کاهرامان و همکاران، ۲۰۰۴؛ کاراکوت و همکاران، ۲۰۱۳؛ میکائیل و همکاران، ۲۰۱۶؛ یلماز و همکاران، ۲۰۱۱؛ جز این گروه قرار می‌گیرند. در برخی دیگر نیز با مبنای قرار دادن سنگ مشخص و ثابت اقدام به تحلیل تغییرات پارامترهای برش شده است (بویوکساگیز، ۲۰۰۷؛ فتر و همکاران، ۲۰۰۷؛ جین و رادر، ۲۰۰۹). به طور کلی تلفیق پارامترهای غیرقابل کنترل مربوط به سنگ در قالب شخص قابلیت برش سنگ و پارامترهای قابل کنترل مашین بهمنظور مدل‌سازی فرآیند برش و ارائه مدل‌های پیش‌بینی برش مطرح هستند. مدل‌های مختلف ارائه شده تاکنون از جامعیت لازم برخوردار نبوده، و اکثر آن‌ها توان در نظر گرفتن پارامترهای دستگاه برش و سنگ بهصورت همزمان را ندارند. در تحقیقات اخیر صورت گرفته توسط کاراکوت (۲۰۱۴) با استفاده از روش طراحی آزمایشات تاگوچی اقدام به بهینه‌سازی عملیات برش با تأکید بر نیروی لازم برای برش سنگ تزئینی گرانیت و با توجه به متغیرهای تصمیم عملیاتی صورت گرفته است. مقدار نیروی برش سنگ بطور مستقیم بر میزان تولید، پوشش ابزار برش، حرارت برش، صافی و بی‌عیب بودن سطح برش در فرایند برش با اره الماسه تاثیرگذار است. با توجه

^۱ Imperialist competitive algorithm

جدول ۱. پارامترهای موثر بر برش ارده‌ی الماسه‌ی دیسکی (بایرام، ۲۰۰۸)

پارامترهای غیرقابل کنترل مربوط به خصوصیات سنگ		پارامترهای قابل کنترل	
مقاومت کششی، فشاری و خمشی میزان زبری سطح میزان سایش‌پذیری میزان آب محتوی میزان سختی	خصوصیات و پارامترهای مکانیکی	میزان نیروی برش میزان سرعت پیشروی عبوری دستگاه به‌هنگام برش میزان نرخ برداشت تراشه میزان سرعت محیطی میزان عمق برش میزان انرژی ویژه‌ی برش مود برش	مشخصات عملیاتی برش
سایز ذرات شکل ذرات نوع و میزان کانی محتوی نوع درجه سیمان‌شدگی نوع و محتوای بافت	پارامترهای بافت سنگ	محتوی و میزان الماس مشخصات بافت و زمینه‌ی فلز مربوط سطح لرزش ماشین	مشخصات طراحی ارده‌ی برش
میزان و شرایط درزه و شکاف درجه هوازدگی کلیواژ	خصوصیات زمینه و ساخت سنگ	قدرت ماشین میزان آب مصرفی شرایط محیطی و آب و هوایی مهارت اپراتور	مشخصات مدیریتی و شرایط کاری

جدول ۲. مشخصات کانی‌شناسی، سنگ‌شناسی و فیزیکو-مکانیکی نمونه سنگ گرانیتی مورد مطالعه

توصیف کانی‌شناسی و سنگ‌شناسی سنگ مورد استفاده			توصیف فیزیکی-مکانیکی سنگ مورد استفاده		
میزان محتوی	ابعاد ذرات	کانی‌شناسی توصیفی	مقدار	واحد	نوع مشخصه
	ماکرزمم	مینیمم			
۳۹	۴/۸۰	۰/۴۸	آلکالی فلدرسپار	۲۵/۹	(kN/m ³)
۲۷	۲/۲۴	۰/۲۴	کوارتز	۰/۸۶	(%)
۲۲	۳/۶۰	۰/۵۶	پلازیوکلаз	۱/۵۰	(%)
۱۰	۱/۶۰	۰/۳۲	بیوتیت	۴۱۴۰	(m/s)
۲	۰/۵۶	۰/۰۸	اجزا دیگر	۵/۲	سرعت امواج فراصوتی
سنگ‌شناسی توصیفی: سنگی با نام آلکالی گرانیت، با متن و زمینه‌ی هایپبودیومورفیک. آلکالی فلدرسپار، کوارتز و پلازیوکلاز کانی‌های غالب را تشکیل می‌دهند، کانی‌های غیرشفاف هم به صورت جانبی در جوار کانی‌های غالب حضور دارند. مقدار محدودی هم بیوتیت مشاهده شده است. آلکالی فلدرسپار، میکروکلین و کوارتز موجود در آن نوعاً تأمیل به آلتراسیون رسی داشته و آلتراسیون مورد اشاره گزارش شده است.			۵۶		شاختی چکش اشمیت
			۵۳۹	(HV)	سختی میکرو
			۷۵/۶		سختی لبه‌ای
			۴/۵		سختی موس

که در رابطه‌ی (۱)، PS مبین سرعت دورانی بر حسب $TS \text{ m/s}$ سرعت یا نرخ پیشروی عبوری دستگاه بر حسب $CD \text{ cm/min}$ ، cm/min عمق برش بر حسب $FRCF$ نرخ جاری شدن سیال سرد کننده بر حسب ml/s و F نیروی برش سنگ توسط ارده‌ی الماسه‌ی بر حسب N است. در تحقیق حاضر برای پیش‌بینی دقیق‌تر نیروی برشی از مدل غیرخطی استفاده شده و از الگوریتم بهینه‌سازی فرآبتكاری رقابت استعمالی جهت تعیین ضرایب مدل پیش‌بینی استفاده شده است. ICA توسط آتش‌پز و

۳- پیش‌بینی نیروی برشی ارده‌ی الماسه‌ی دیسکی در مطالعه صورت گرفته توسط کاراکوت (۲۰۱۴) از تحلیل رگرسیون چند متغیره خطی برای پیش‌بینی نیروی برش استفاده شده است. وی با توجه به چهار متغیر مستقل سرعت دورانی، سرعت یا گام پیشروی عبوری دستگاه برش، عمق برش و نرخ جاری شدن سیال سرد کننده معادله رگرسیونی خطی نیروی برش مطابق رابطه‌ی ۱ بیان کرده است (جدول ۳).

۲۰۱۵)، مساله فروشندۀ دوره‌گرد (اردلان و همکاران، ۲۰۱۵)، بهینه‌سازی، مساله زمان‌بندی تولید (بهنامیان و زنده، ۲۰۱۱؛ لاین و همکاران ۲۰۱۲) و برنامه‌ریزی تولید معدن (مختاریان اصل و ستاروند ۲۰۱۶) اشاره کرد. به منظور پیش‌بینی نیروی برشی دو مدل غیرخطی با تابع هدفی مطابق روابط ۲ و ۳ (جدول ۳) در نظر گرفته شده است.

$k_{13} k_{11} k_{10} k_9 k_8 k_7 k_6 k_5 k_4 k_3 k_2 k_1 k_0$ ضرایب ثابتی هستند که بر مبنای رگرسیون غیرخطی مبتنی بر توسط الگوریتم رقابت استعماری قابل تعیین هستند. $FRCF_i$ و CD_i TS_i PS_i F_i نیز مقادیر اندازه‌گیری شده مربوط به آزمایشات انجام گرفته هستند. ضرایب مدل‌های ارائه شده با استفاده از الگوریتم رقابت استعماری که با زبان برنامه‌نویسی C++ در محیط مایکروسافت ویژوال استودیو ۲۰۱۳ بسط یافته بود، مطابق با روابط ۴ و ۵ (جدول ۳) تعیین شدند.

۴- مقایسه عملکرد مدل‌های مختلف تخمین نیروی برش سنگ

مقادیر اندازه‌گیری شده نیروی برش ارهی الماسه‌ی دیسکی بهنگام برش سنگ گرانیتی مورد مطالعه به همراه پارامترهای مستقل تعیین‌کننده این نیرو در جدول ۴ ارائه شده است. همچنین در جدول مذکور به‌منظور مقایسه مقادیر پیش‌بینی شده با مقادیر اندازه‌گیری شده‌ی نیروی برشی توسط مدل کاراکوت و مدل‌های غیرخطی پیشنهادی مبتنی بر الگوریتم رقابت استعماری (نیروی برش تخمینی از روابط ۴ و ۵) نیز گزارش شده است. به منظور مقایسه ساده‌تر نتایج ارائه شده در جدول ۴، مقدار قدر مطلق خطای پیش‌بینی نیروی برشی با دو رویکرد کاراکوت (۲۰۱۴) و ICA_{II} در شکل ۴ نشان داده شده است. در ادامه این بخش از تحقیق، کارایی مدل‌های پیشنهادی با استفاده از روش‌های مقایسه‌ای گرافیکی و کمی مورد بررسی قرار می‌گیرد.

در روش گرافیکی از نمودار تخمین- مقدار واقعی به منظور بررسی دقیقت تخمین‌ها استفاده می‌شود. در این روش مقادیر تخمین زده شده نیروی برش توسط هر یک از مدل‌های در مقابل مقادیر اندازه‌گیری شده‌ی آن ترسیم می‌شود. نتایج حاصل از این آزمون برای هر یک از مدل‌های مورد مطالعه در شکل‌های ۵ و ۶ نمایش داده

لوکاس در سال ۲۰۰۷ ارائه شده است، که الهام گرفته از فرآیندهای سیاسی- اجتماعی می‌باشد. همانند دیگر الگوریتم‌های فرآبتكاری جمعیت محور، این الگوریتم نیز کار خود را با یک جمعیت اولیه تصادفی شروع می‌کند، که هر کدام از اعضای جمعیت کشور^۱ نامیده می‌شود. با توجه به تابع هدف مساله، تعدادی از بهترین کشورهای جمعیت اولیه به عنوان امپریالیست^۲ انتخاب شده و مابقی به عنوان مستعمره^۳ در نظر گرفته می‌شوند. به مجموعه یک امپریالیست و مستعمراتش، امپراتوری^۴ گفته می‌شود. امپریالیست با توجه قدرتش، مستعمرات را با یک روند خاصی به سمت خود جذب می‌کند. قدرت کل هر امپراطوری، به هر دو بخش تشکیل‌دهنده آن یعنی امپریالیست و مستعمرات آن بستگی دارد. با شکل‌گیری امپراطوری‌های اولیه، رقابت امپریالیستی میان آن‌ها شروع شده و هر امپراطوری که نتواند در رقابت استعماری، موفق عمل کرده و بر قدرت خود بیفزاید (و یا حداقل از کاهش نفوذش جلوگیری کند) حذف خواهد شد. بنابراین بقای یک امپراطوری وابسته به قدرت آن در جذب مستعمرات امپراطوری‌های رقیب و به سیطره در آوردن آن‌ها خواهد بود. در نتیجه، در جریان رقابت‌های امپریالیستی، به تدریج بر قدرت امپراطوری‌های بزرگ‌تر افروده شده و امپراطوری‌های ضعیفتر حذف خواهند شد. امپراطوری‌ها برای افزایش قدرت خود، مجبور خواهند شد تا مستعمرات خود را نیز پیشرفت دهند. با گذشت زمان، مستعمرات از لحاظ قدرت به امپریالیست نزدیک‌تر خواهند شد و شاهد یک نوع همگرایی در جواب‌های مساله خواهیم بود. حد نهایی رقابت استعماری زمانی است که یک امپراطوری واحد در دنیا وجود داشته باشد. در این امپراطوری مستعمرات از لحاظ قدرت به کشور امپریالیست خیلی نزدیک هستند (آتشپز گرگری و لوکاس، ۲۰۰۷). فلوجارت روش حل مساله با الگوریتم رقابت استعماری در شکل ۳ نشان داده شده است.

تاکنون از الگوریتم رقابت استعماری برای حل مسائل گوناگون بهینه‌سازی استفاده شده است، که از آن جمله می‌توان به پیش‌بینی بازار بورس (سادای و همکاران، ۲۰۱۶)، طراحی فیلتر دیجیتال (شریفی و مجللی،

¹ Country

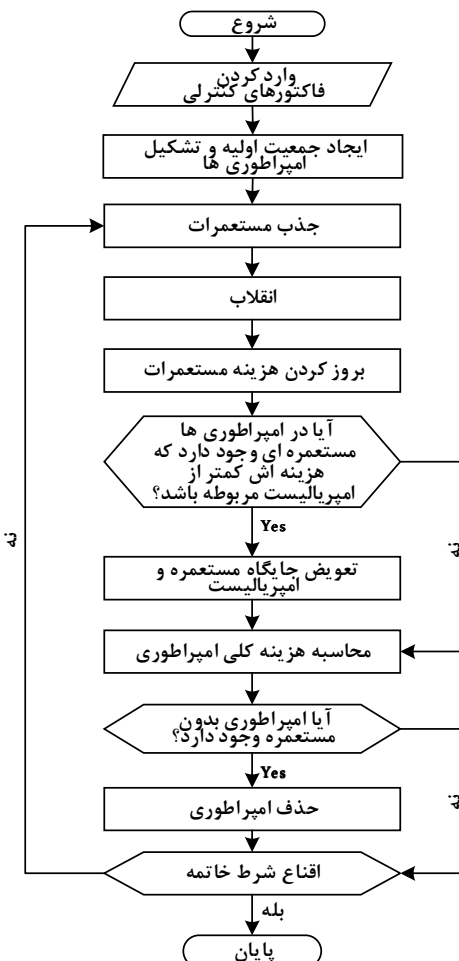
² Imperialist

³ Colony

⁴ Empire

ضریب تعیین ۹۸/۰ نزدیک‌ترین مقدار را نسبت به عدد یک دارا بوده و بهترین عمل کرد را در رابطه با تخمین دارد. در ادامه تحقیق جزئیات این برتری با مبنای قرار دادن برخی از مهم‌ترین شاخص‌های آماری تخمین در قالب کمی بیان خواهد شد.

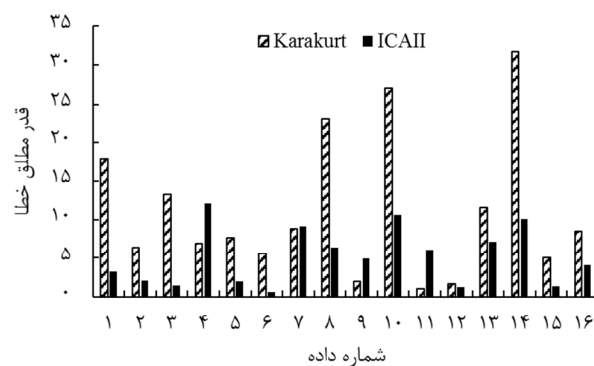
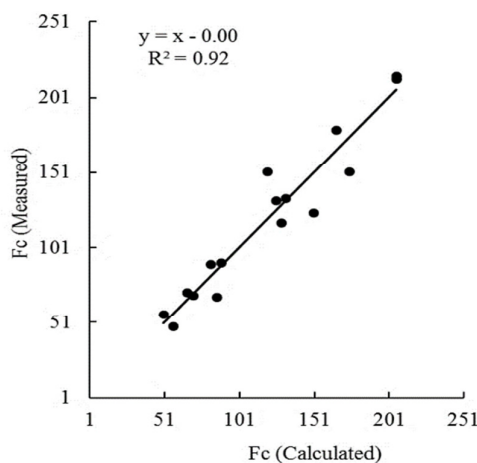
شده است. به هر مقدار که ضریب تعیین (R^2) به عدد یک نزدیک‌تر باشند، دقت تخمین نیروی برشی توسط مدل بهتر خواهد بود. همان‌گونه که از شکل‌های ۵ و ۶ مشخص است، از میان مدل‌های بررسی شده، مدل غیرخطی دوم مبتنی بر الگوریتم رقابت استعماری با



شکل ۳. فلوچارت الگوریتم رقابت استعماری (آتشپز گرگری و لوکاس، ۲۰۰۷)

جدول ۳. روابط اشاره شده در متن مقاله

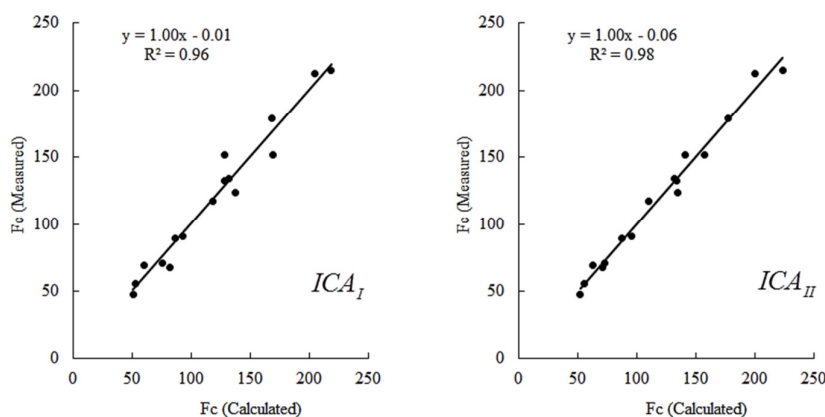
$F_{(N)} = 88.294 - 3.536PS_{(m/s)} + 1.530TS_{(cm/min)} + 71.46ICD_{(cm)} - 0.221FRCF_{(ml/s)}$	رابطه ۱
$Minimize \sum_{i=1}^n \left(\left k_0 + k_1 PS_i^{k_2} (m/s) TS_i^{k_3} (cm/min) CD_i^{k_4} (cm) FRCF_i^{k_5} (ml/s) \right - F_i \right)^2$	رابطه ۲
$Minimize \sum_{i=1}^n \left(\left k_0 + k_1 PS_i^{k_2} (m/s) + k_3 TS_i^{k_4} (cm/min) + k_5 CD_i^{k_6} (cm) + k_7 FRCF_i^{k_8} (ml/s) \right + k_9 PS_i^{k_{10}} (m/s) TS_i^{k_{11}} (cm/min) CD_i^{k_{12}} (cm) FRCF_i^{k_{13}} (ml/s) - F_i \right)^2$	رابطه ۳
$F_{(N)} = \left 33.591 - 770.672PS_i^{-0.7305} (m/s) TS_i^{0.4178} (cm/min) CD_i^{0.539} (cm) FRCF_i^{-0.1828} (ml/s) \right $	رابطه ۴
$F_{(N)} = \left -12.496 + 22021.7PS^{-2.114} (m/s) - 5486270TS^{-3.151} (cm/min) + 184.792CD^{0.919} (cm) + 36630FRCF^{-1.871} (ml/s) - 0.0824PS^{1.219} (m/s) TS^{0.388} (cm/min) CD^{1.408} (cm) FRCF^{0.186} (ml/s) \right $	رابطه ۵

شکل ۴. مقایسه قدر مطلق خطای حاصل از تخمین نیروی برشی توسط مدل‌های *ICAII* و *Karakurt*

شکل ۵. نمودار تخمین- اندازه‌گیری شده حاصل از مدل خطی (کاراکوت)

جدول ۴. جزئیات مربوط به مقادیر اندازه‌گیری شده، پیش‌بینی شده و پارامترهای موثر در تعیین نیروی برش اره الماسه دیسکی

شماره تakhminي (ICA _{II})	نیروی برش تakhminي (ICA _I)	نیروی برش Karakurt)	نیروی برش تحمینی (N)	نیروی برش اندازه‌گیری شده	سیال سرد کننده	عمق برش (cm)	سرعت یا گام پیشروی (cm/min)	سرعت دورانی (m/s)	داده
۷۱/۱۹	۸۱/۸۰	۸۵/۸۱	۶۷/۹۵	۵۰	۰/۵	۴۰	۲۵	۱	
۱۳۴/۲۳	۱۲۸/۵۵	۱۲۵/۸۳	۱۳۲/۲	۱۰۰	۱	۵۰	۲۵	۲	
۱۷۷/۸۱	۱۶۸/۵۷	۱۶۵/۸۵	۱۹۷/۲	۱۵۰	۱/۵	۶۰	۲۵	۳	
۲۰۰/۶۳	۲۰۵/۲۹	۲۰۵/۸۷	۲۱۲/۸۱	۲۰۰	۲	۷۰	۲۵	۴	
۸۷/۵۷	۸۶/۴۶	۸۱/۸۴	۸۹/۵۸	۱۵۰	۱	۴۰	۳۰	۵	
۵۵/۳۶	۵۲/۴۶	۵۰/۴۰	۵۵/۹۹	۲۰۰	۰/۵	۵۰	۳۰	۶	
۲۲۴/۰۳	۲۱۹/۰۰	۲۰۵/۹۲	۲۱۴/۸۲	۵۰	۲	۶۰	۳۰	۷	
۱۵۷/۷۳	۱۶۹/۶۵	۱۷۴/۴۸	۱۵۱/۳۶	۱۰۰	۱/۵	۷۰	۳۰	۸	
۹۵/۷۸	۹۳/۰۴	۸۸/۸۸	۹۰/۸۱	۲۰۰	۱/۵	۴۰	۳۵	۹	
۱۳۴/۵۱	۱۳۷/۴۹	۱۵۰/۹۲	۱۲۳/۸۱	۱۵۰	۲	۵۰	۳۵	۱۰	
۶۲/۸۶	۶۰/۰۹	۷۰/۰۴	۶۸/۹۸	۱۰۰	۰/۵	۶۰	۳۵	۱۱	
۱۳۲/۵۱	۱۳۲/۰۷	۱۳۲/۰۸	۱۳۳/۷۷	۵۰	۱	۷۰	۳۵	۱۲	
۱۱۰/۱۴	۱۱۸/۶۶	۱۲۸/۹۵	۱۱۷/۳۴	۱۰۰	۲	۴۰	۴۰	۱۳	
۱۴۱/۱۴	۱۲۸/۸۶	۱۱۹/۵۳	۱۵۱/۲۹	۵۰	۱/۵	۵۰	۴۰	۱۴	
۷۲/۴۶	۷۵/۷۶	۶۶/۰۷	۷۱/۱۵	۲۰۰	۱	۶۰	۴۰	۱۵	
۵۲/۱۷	۵۱/۰۱	۵۶/۶۵	۴۸/۱۱	۱۵۰	۰/۵	۷۰	۴۰	۱۶	



شکل ۶. نمودار تخمین- اندازه‌گیری شده حاصل از مدل اول و دوم پیشنهادی غیر خطی مبتنی بر الگوریتم رقابت استعمالی

در معادلات ارائه شده برای آزمون‌های آماری و F_{Meas} به ترتیب برابر با مقادیر اندازه‌گیری شده و تخمین زده شده‌ی نیروی برش می‌باشدند. بر مبنای شاخص‌های قید شده در جدول ۵ تمامی مدل‌های تخمین نیروی برش مورد ارزیابی قرار گرفتند، که نتیجه آن در جدول ۶ ارائه شده است.

در متون فنی برای مقایسه میزان برازنده‌گی تخمین‌های صورت‌گرفته تعدادی شاخص و آزمون آماری پیشنهاد شده است، که آزمون‌های مورد استفاده در این تحقیق در جدول ۵ جمع‌بندی شده‌اند. معادلات ریاضی مربوط به هریک از این شاخص‌ها به صورت جداگانه معرفی و توضیحات لازم به منظور تفسیر راحت‌تر ذکر شده است.

جدول ۵. آزمون‌های آماری مورد استفاده برای مقایسه میزان برازنده‌گی تخمین

توضیحات	معادله	پارامتر آماری
مقدار کوچکتر بهتر است.	$MAPE = \frac{1}{n} \times \left[\sum_{i=1}^{i=n} \left \frac{F_{Meas}^i - F_{Esti}^i}{F_{Meas}^i} \right \right] \times 100$	میانگین درصد قدرمطلق خطأ ^۱ (MAPE)
مقدار کوچکتر بهتر است.	$RMSE = \sqrt{\frac{1}{n} \times \sum_{i=1}^{i=n} (F_{Meas}^i - F_{Esti}^i)^2}$	مجزور میانگین مربعات خطأ ^۲ (RMSE)
مقدار کوچکتر بهتر است.	$MAE = \frac{1}{n} \times \sum_{i=1}^{i=n} F_{Meas}^i - F_{Esti}^i $	میانگین قدر مطلق خطأ ^۳ (MAE)
مقدار کوچکتر بهتر است.	$MEDAE = median \left(\left \frac{F_{Meas} - F_{Esti}}{F_{Meas}} \right \right)$	میانه قدر مطلق خطای نسبی ^۴ (MEDAE)
مقدار بزرگتر بهتر است.	$VAF = \left[1 - \frac{var(F_{Meas} - F_{Esti})}{var(F_{Meas})} \right] \times 100$	به حساب واریانس ^۵ (VAF)

جدول ۶. مقایسه مدل‌های مختلف تخمین نیروی برشی بر مبانی آزمون‌های آماری

نام مدل تخمین	VAF (%)	MEDAE	MAE	RMSE	MAPE (%)
مدل خطی پیشنهادی کاراکوت	۹۲/۲۳۱	۰/۰۸۰	۱۱/۱۶۵	۱۴/۳۰۸	۱۰/۱۵۳
مدل اول غیر خطی پیشنهادی (ICA _I)	۹۶/۳۲۶	۰/۰۶۰	۷/۶۲۷	۹/۸۳۹	۶/۹۹۰
مدل دوم غیر خطی پیشنهادی (ICA _{II})	۹۸/۴۶۸	۰/۰۴۵	۵/۱۷۸	۶/۳۵۵	۴/۴۸۴

^۱ Mean absolute percentage error^۲ Route Mean Square Error^۳ Mean absolute error^۴ Median absolute error^۵ Variance account for

- Arabian Journal of Geosciences, 5(6): 1289-1295.*
- Atashpaz-Gargari, E., & Lucas, C (2007) *Imperialist competitive algorithm: an algorithm for optimization inspired by imperialistic competition. Paper presented at the Evolutionary computation, IEEE Congress on.*
- Bayram, F (2008) *Sawing optimization of carbonate natural stone with circular saw, PhD Thesis, Hacettepe University.*
- Bayram, F (2013) *Prediction of sawing performance based on index properties of rocks, Arabian Journal of Geosciences, 6(11): 4357-4362.*
- Behnamian, J., & Zandieh, M (2011) *A discrete colonial competitive algorithm for hybrid flowshop scheduling to minimize earliness and quadratic tardiness penalties, Expert Systems with Applications, 38(12): 14490-14498.*
- Buyuksagis, I (2007) *Effect of cutting mode on the sawability of granites using segmented circular diamond sawblade, Journal of Materials Processing Technology, 183(2): 399-406.*
- Buyuksagis, I., & Goktan, R (2005) *Investigation of marble machining performance using an instrumented block-cutter, Journal of Materials Processing Technology, 169(2): 258-262.*
- Delgado, N. S., Rodríguez-Rey, A., del Río, L. S., Sarriá, I. D., Calleja, L., & de Argandona, V. R (2005) *The influence of rock microhardness on the sawability of Pink Porrino granite (Spain), International journal of rock mechanics and mining sciences, 42(1): 161-166.*
- Ersoy, A., & Atıcı, U (2004) *Performance characteristics of circular diamond saws in cutting different types of rocks, Diamond and Related Materials, 13(1): 22-37.*
- Fener, M., Kahraman, S., & Ozder, M (2007) *Performance prediction of circular diamond saws from mechanical rock properties in cutting carbonate rocks, Rock Mechanics and Rock Engineering, 40(5): 505-517.*
- Jain, S., & Rathore, S (2009) *Role of cut size area on the performance of diamond wire saw machine in quarrying of marble, International Journal of Mining, Reclamation and Environment, 23(2): 79-91.*
- Kahraman, S., Fener, M., & Gunaydin, O (2004) *Predicting the sawability of carbonate rocks using multiple curvilinear regression analysis, International journal of rock mechanics and mining sciences, 41(7): 1123-1131.*
- Karakurt, I (2014) *Application of Taguchi method for cutting force optimization in rock sawing by circular diamond sawblades, Sadhana, 39(5): 1055-1070.*
- Karakurt, I., Aydin, G., & Aydiner, K (2013) *Predictive modelling of noise level generated*

نتیجه‌گیری

با توجه به عدم تعریف و وجود دستگاه برش استاندارد و برخوردار از قالب واحد، امکان تلفیق همزمان پارامترهای غیرقابل کنترل مربوط به سنگ و پارامترهای قابل کنترل مربوط با ماشین برش سنگ بهمنظور ارائه مدل جامع پیش‌بینی قابلیت برش سنگ تاکنون محقق نشده است؛ از اینرو نقصان دستگاه برش آزمایشگاهی استاندارد و همه‌گیر با کارکردی نظری دستگاه اندازه‌گیری مقاومت فشاری و سلول سه محوره هوک که قادر به تعمیم به سنگ‌های مختلف را داشته و امکان مقایسه در موردهای مختلف مطالعاتی را فراهم سازد، احساس می‌شود.

در مطالعه حاضر برای یک نوع سنگ گرانیتی دو مدل غیرخطی مبتنی بر الگوریتم رقابت استعماری بهمنظور تخمین و پیش‌بینی نیروی برش ارده الماسه دیسکی بر مبنای پارامترهای ماشین‌کاری دستگاه برش ارائه شده که با استناد به شاخص‌های آماری مدل‌های پیش‌بینی پیشنهادی دارای دقت بالایی می‌باشدند. اعتبارسنجی مدل‌های پیشنهادی در مقایسه با مدل ارائه شده توسط کاراکوت حکایت از برتری مطلق هر دو مدل پیشنهادی این تحقیق دارد مدل دوم غیرخطی پیشنهادی دارای ضریب تعیین ۰/۹۸ و میانگین قدر مطلق خطا ۵/۱۷۸ است.

مدل پیشنهادی با در نظر گرفتن یک سنگ مشخص و بر مبنای پارامترهای ماشین‌کاری دستگاه برش ارده الماسه دیسکی ارائه شده است. با طی فرایندی مشابه این تحقیق، امکان ارائه مدل برای هر نوع سنگ تزئینی دیگر نیز فراهم بوده و پیشنهاد می‌شود.

تشکر و قدردانی

لازم است نویسنده‌گان از داوران محترم این نشریه که در جهت ارتقای کیفیت این مقاله، پیشنهادات ارزنده‌ای ارائه نمودند، تشکر و قدردانی نمایند.

منابع

- Ardalan, Z., Karimi, S., Poursabzi, O., & Naderi, B (2015) *A novel imperialist competitive algorithm for generalized traveling salesman problems, Applied Soft Computing, 26: 546-555.*
- Ataei, M., Mikael, R., Sereshki, F., & Ghaysari, N (2012) *Predicting the production rate of diamond wire saw using statistical analysis,*

- during sawing of rocks by circular diamond sawblades, *Sadhana*, 38(3): 491-511
- Konstanty, J (2002) Theoretical analysis of stone sawing with diamonds, *Journal of Materials Processing Technology*, 123(1): 146-154 .
- Lian, K., Zhang, C., Gao, L., & Li, X (2012) Integrated process planning and scheduling using an imperialist competitive algorithm, *International Journal of Production Research*, 50(15): 4326-4343 .
- Mikaeil, R., Haghshenas, S. S., Haghshenas, S. S., & Ataei, M (2016) Performance prediction of circular saw machine using imperialist competitive algorithm and fuzzy clustering technique, *Neural Computing and Applications*, 1-10.
- Mokhtarian Asl, M., & Sattarvand, J (2016) An imperialist competitive algorithm for solving the production scheduling problem in open pit mine, *Int. Journal of Mining & Geo-Engineering*, 50(1):131-143 .
- Ozcelik, Y (1999) Investigation of the working conditions of diamond wire cutting machines in marble industry. PhD Thesis, Hacettepe University, Ankara.
- Sadai, H. J., Enayatifar, R., Lee, M. H., & Mahmud, M (2016) A hybrid model based on differential fuzzy logic relationships and imperialist competitive algorithm for stock market forecasting, *Applied Soft Computing*, 40: 132-149.
- Sadegheslam, G., Mikaeil, R., Rooki, R., Ghadernejad, S., & Ataei, M (2013) Predicting the production rate of diamond wire saws using multiple nonlinear regression analysis, *Geosystem Engineering*, 16(4): 275-285.
- Sharifi, M. A., & Mojallali, H (2015) A modified imperialist competitive algorithm for digital IIR filter design, *Optik-International Journal for Light and Electron Optics*, 126(21): 2979-2984 .
- Yilmaz, N. G., Goktan, R., & Kibici, Y (2011) An investigation of the petrographic and physico-mechanical properties of true granites influencing diamond tool wear performance, and development of a new wear index, *Wear*, 271(5): 960-969.

Prediction of cutting force in circular diamond sawblades: A case study in granitic rocks

M. Mokhtarian Asl¹, A. Alipour² and S. Chehreghani³

*1, 2- Dept., of Mining and Metallurgical Engineering, Urmia University of Technology, Urmia
3- Dept., of Mining Engineering, Urmia University, Urmia*

* *m.mokhtarian@uut.ac.ir*

Received: 2019/12/29 Accepted: 2020/6/23

Abstract

Circular diamond sawblades and diamond wire saw have extensive applications in the processing of natural stones. The cutting performance is affected by the rock properties, sawing characteristics and working conditions. So far, many researchers focused on modeling and estimating the sawing performance. Performance prediction of sawing machine have important role in the cost estimation. The aim of present study is to develop nonlinear models for estimating cutting force in circular diamond sawblades using Imperialist Competitive Algorithm (ICA) optimization techniques and compare the results obtained from literature models. For this purposes, the conducted tests on the granitic rocks were used in the case study and the proposed models based on those data have been evaluated. The peripheral speed, traverse speed, cut depth and flow rate of cooling fluid are used to predict the cutting force. According to the calculated statistical error between the forecasted and real measured values of cutting force, ICA-based model has the lowest values of MAPE, VARE, MEDAE and RMSE, while it has the highest value of VAF, in comparison to the other models. It is concluded that this AC_{II}-based model is superior to others.

Keywords: Natural stone processing, circular diamond sawblades, cutting force, Imperialist competitive algorithm